

بِسْمِ اللّٰهِ الرَّحْمٰنِ الرَّحِيْمِ

١٤١٢٢٩

دانشکده علوم
الله
نمایان
گروه شیمی

(شیمی تجزیه)

اصلاحات شیمیایی در دستور العملهای تهییه

سل خورشیدی حساس شده با رنگدانه (DSSC)

از
حامد فرزین خضرابیگی

استاد راهنما

دکتر محمد علی زنجانچی

استاد مشاور

دکتر سید محمد روضاتی

۱۴۰۰/۷/۴

اسفند ۸۸



۱۴۰۰/۷/۴

تقدیم به

دستان رنج کشیده مادرم

و تقدیم به روح و روان پاک پدرم

منت خدای راعزو جل که طاعتش موجب قربت است و به شکر اندرش مزید نعمت. هر نفسی که می‌رود مدد حیات است و چون بر می‌آید مفرح ذات،

پس در هر نفسی دو نعمت و بر هر نعمت شکری واجب. از دست وزبان که برآید که عده‌ی شکرش به درآید.

از استادگرامی و فرزانه جناب آقا‌ای دکتر زنجابی که اینجانب را در انجام این پژوهش حاضر راهنمایی و مساعدت نمودند سعیاند سپاس‌گزارم. از راهنمایی‌های

استاد از زنده جناب آقا‌ای دکتر روحتانی شکر می‌نایم. از آقایان دکتر علی اکبر و دکتر انصاری به جهت قبول زحمت داوری این پایان نامه قدردانی می‌نمایم و

به چنین از ناینده تحصیلات تکمیلی جناب دکتر محمودی کمال شکر را در ارم. در نیات از خانواده هم‌بمان و دلنویز مکر که همواره حامی و پشتیبانم بودند و به چنین دوستان

غیریم آقایان سید حسن سجادی، سید امام علی هاشمی، مهدی لطفی، حسین گل مرشد، سید میلاد هاشمی، محمد پور نقی، وحید عظیمی، حسین ترابی، مسعود لطفی، محمد علی

شیری، عالیوری نیا، صدر بیگلش، میلاد خشنود، یثم پسندیده، ابراهیم غیاثی، صادق دهقانی خواه، شرام کوشی، رضاولی زاده، محمد زنجابی و مسعود زرجی و به چنین

خانم هابیان تراوی، ابراهیمیان، صاحب جمع نیا، روشنگر، آریماهی، جویبار، کاظمی راد، قاسم پور و دیگران که مجال آوردند اسم آن را در اینجای نیست، کمال سپاس و

شکر را در ارم و برای ایشان از درگاه خداوندباری تعالی برگزی و معاودت خواستارم.

..... چکیده فارسی

..... چکیده انگلیسی

فصل اول: مقدمه و تئوری

۱-۱- توسعه پایدار با منابع انرژی نو..... ۲

۱-۲- خورشید منبع انرژی بدون آلودگی محیط زیست..... ۴

۱-۲-۱- سیستم های فتو بیولوژی..... ۴

۱-۲-۲- سیستم های شیمیایی..... ۴

۱-۲-۳- سیستم های حرارتی و برودتی..... ۵

۱-۲-۴- سیستم های فتوولتایی..... ۵

۱-۳- شیمی تجزیه و انرژی..... ۶

۱-۴- تاریخچه ساخت پیلهای خورشیدی..... ۶

۱-۵- انواع پیلهای خورشیدی..... ۸

۱-۵-۱- پیلهای خورشیدی نیم رسانا..... ۸

۱-۵-۲- پیلهای خورشیدی حساس شده با رنگدانه (DSSC)..... ۱۰

۱-۶- پیلهای خورشیدی حساس شده با رنگدانه (DSSC) و مزایای آن..... ۱۱

۱-۶-۱- بستر شیشه ای پوشیده شده با اکسیدهای شفاف..... ۱۱

۱-۶-۲- فتوالکترود اکسید تیتانیم ۱۲

۱-۶-۳- رنگدانه یا کمپلکس فتو حساس ۱۲

۱-۶-۴- الکترلیت ردوکس ۱۴

۱-۶-۵- الکترود مقابل ۱۴

۱-۶-۶- مزایای DSSC ۱۴

۱-۷-۱- مروری بر منابع علمی در ساخت پیلهای خورشیدی حساس شده با رنگدانه ۱۵

۱-۸-۱- مکانیزم عملکرد DSSC ۲۲

۲۵.....	۹-۱- نوآوری های اخیر در ابداع DSSC
۲۶.....	۱-۱- بررسی خصوصیات ساختاری فیزیکی و شیمیایی DSSC
۲۷.....	۱-۱-۱- وارد کردن رنگدانه در ساختار DSSC
۲۸.....	۱-۱-۲- استفاده از هتروپلی اسیدها در DSSC
۲۹.....	۱-۱-۳- روش های بررسی شاخص های کارایی DSSC
۳۱.....	۱-۱-۴- جمع بندی اهداف پایان نامه

فصل دوم: کارهای تجربی

۳۳.....	۲-۱- مواد شیمیایی به کار رفته در کار تحقیقاتی حاضر
۳۴.....	۲-۲- ستز $TiCl_4$ از TiO_2
۳۴.....	۲-۳- داپ کردن تنگستوفسفریک اسید در TiO_2
۳۵.....	۲-۴- داپ کردن کبات فتالوسیانین ترا سولفونه در تیتانیم دی اکسید
۳۵.....	۲-۴-۱- آماده سازی الکترود آند
۳۵.....	۲-۴-۲- آماده سازی سوپرانسیون
۳۵.....	۲-۴-۳- آماده سازی شیشه هادی و لایه نشانی با تکنیک دکتر بلید
۳۶.....	۲-۴-۴- بازپخت لایه ها
۳۶.....	۲-۴-۵- بر جذب رنگدانه بر سطح لایه
۳۷.....	۲-۵- ساخت الکترولیت ردوکس
۳۷.....	۲-۶- ساخت کاتد گرافیتی و آلومینیومی
۳۷.....	۲-۷- ساخت و اندازه گیری عملکرد فتوولتایی
۳۸.....	۲-۸- بررسی نمونه ها با استفاده از اسپکتروسکوپی بازتابش انتشاری (DRS)
۳۹.....	۲-۹- مطالعات پراش پرتو ایکس (XRD)
۴۰.....	۲-۱۰- اسپکتروسکوپی IR
۴۰.....	۲-۱۱- تعیین مساحت سطح ویژه نمونه ها (آزمایش BET)

فصل سوم: بحث و نتیجه‌گیری

۴۳.....	- بررسی و مشاهده مراحل داپ کردن تنگستوفسفویریک اسید در TiO_2
۴۴.....	-۱- بررسی طرح پراش پرتو ایکس ترکیبات حاوی هتروپلی اسید
۴۶.....	-۲- محاسبه مساحت سطح ویژه و حجم حفره نمونه‌های TiO_2 -TPA
۴۷.....	-۳- بررسی طیف‌های IR و DR نمونه‌های TiO_2 -HPA
۴۸.....	-۲-۲- داپ کردن رنگدانه کبالت فتالوسیانین ترا سولفونه در TiO_2
۴۹.....	-۱-۲-۳- بررسی طرح پراش پرتو ایکس نمونه‌های سترزی TiO_2 -CoPC
۵۰.....	-۲-۲-۳- بررسی طیف‌های DR نمونه‌های TiO_2 -CoPC
۵۰.....	-۳-۲-۳- محاسبه مساحت سطح ویژه و حجم حفره نمونه‌های TiO_2 -CoPC
۵۱.....	-۳-۳- تهیه پیل خورشیدی با استفاده از TiO_2 خالص: مراحل لایه نشانی، بر جذب رنگدانه و افزایش الکتروولیت
۵۳.....	-۴-۳- آماده سازی، بهینه سازی و اندازه‌گیری پیل خورشیدی TiO_2 -HPA حساس شده با رنگدانه رودامین B
۵۳.....	-۱-۴-۳- ساخت پیل با استفاده از سورفکتانت تربیتون ایکس - ۱۰۰
۵۶.....	-۲-۴-۳- جایگزینی سورفکتانت تربیتون ایکس - ۱۰۰ با اتیلن گلیکول
۵۹.....	-۳-۴-۳- بهینه سازی پیل خورشیدی با استفاده از کاتد آلومینیومی
۶۱.....	-۵-۳- مکانیزم پیشنهادی برای عملکرد پیل خورشیدی TiO_2 -HPA حساس شده با رنگدانه
۶۳.....	-۶-۳- بررسی عملکرد پیل خورشیدی TiO_2 -HPA حساس شده با رنگدانه رودامین G
۶۵.....	-۷-۳- بررسی عملکرد پیل خورشیدی TiO_2 -HPA حساس شده به رنگدانه ایوزین Y
۶۷.....	-۸-۳- مقایسه ۳ رنگدانه رودامین B، رودامین G و ایوزین Y در عملکرد پیلهای TiO_2 -TPA
۶۹.....	-۹-۳- بررسی پیل خورشیدی ساخته شده از TiO_2 حاوی کبالت فتالوسیانین
۷۱.....	-۱۰-۳- برتری پیل (1.2%) TiO_2 -CoPc در بین DSSC های ساخته شده با اجزای مشابه ولی به روش تلقیح رنگدانه و یا پوشش دهی خشک
۷۳.....	-۱۱-۳- نتیجه‌گیری نهایی
۷۳.....	-۱۲-۳- پیشنهاد برای کارهای آینده
۷۴.....	مراجع

۲.....	شکل ۱-۱ میزان مصرف انرژی در گذشته، حال و آینده در جهان
۳.....	شکل ۲-۱ نوع و میزان مصرف هر یک از منابع تأمین انرژی در جهان
۷.....	شکل ۳-۱ پروفسور Gratzel
۹.....	شکل ۴-۱ ساختار پیل خورشیدی نیم رسانا
۱۰.....	شکل ۵-۱ ساختار پیل خورشیدی حساس شده با رنگدانه که در آن اجزای نشان داده شده‌اند
۱۲.....	شکل ۶-۱ ساختار کمپلکس رنگدانه N3
۱۳.....	شکل ۷-۱ نحوه اتصال و بر جذب رنگدانه بر سطح تیتانیم دی اکساید
۱۵.....	شکل ۸-۱ محل اتصالات بین سطوح مختلف در DSSC و برهمنکنش‌های بین آنها
۱۶.....	شکل ۹-۱ روش کندوپاش که در آن منبع باید در محفظه خلاء قرار گیرد
۱۷.....	شکل ۱۰-۱ روش انباست بخار شیمیایی (CVD) که از یک اسپری برای پاشیدن ترکیب آثررسول استفاده می‌شود
۱۷.....	شکل ۱۱-۱ وابستگی کارایی DSSC به درصد اندازه ذرات، a: ذرات کوچک b: ذرات بزرگ
۱۸.....	شکل ۱۲-۱ بررسی تأثیر دما آماده سازی لایه TiO ₂ بر کارائی و دانسیته جریان
۱۸.....	شکل ۱۳-۱ بررسی تأثیر بستر لایه نشانی بر دانسیته جریان
۱۹.....	شکل ۱۴-۱ طرق مختلف اتصال گروه‌های کربوکسیل
۲۱.....	شکل ۱۵-۱ عملکرد فتوولتایی DSSC با الکترولیت a-ZrP دوپه شده ۱-ستیل-۳-پروبیل ایمیدازول یدید
۲۲.....	شکل ۱۶-۱ تصویری از یک DSSC حالت جامد
۲۲.....	شکل ۱۷-۱ دیاگرام انرژی برای انتقال بار مؤثر در اجزاء پیل خورشیدی حساس شده با رنگدانه حالت جامد
۲۴.....	شکل ۱۸-۱ مکانیزم عملکرد DSSC
۲۵.....	شکل ۱۹-۱ انتقال تصادفی حامل‌های بار در فیلم‌های نیمه‌رسانای مزوپور
۲۷.....	شکل ۲۰-۱ تصویر SEM لایه فشرده قرار گرفته بین نانوپروس‌های TiO ₂ و FTO
۲۸.....	شکل ۲۱-۱ تکنیک سمت چپ روش شناورسازی و تکنیک سمت راست بر جذب رنگدانه، تحت فشار CO ₂ را نشان می‌دهد

۲۹.....	شکل ۱-۲۲ مدار الکترونی شامل آمپرسنج و یک ولت‌متر و یک پتانسیومتر
۲۹.....	شکل ۱-۲۳ DSSC ساخته شده که در آن یک گیره‌ی سوسماری به آند و دیگری به کاتد متصل می‌شود
۳۰.....	شکل ۱-۲۴ نمودار جریان بر حسب ولتاژ
۳۱.....	شکل ۱-۲۵ تکنیک دکتر بلید که در آن از ۳ برجسب بر حاشیه‌های شیشه‌ی هادی استفاده شد
۳۷.....	شکل ۲-۱ طریقه آماده سازی الکترود کاتد به وسیله گرافیت
۳۸.....	شکل ۲-۲ اضافه کردن الکتروولیت بر سطح الکترود آند
۳۹.....	شکل ۲-۳ سیستم نوری طیف سنجی بازتابش انتشاری در حوالی کره جمع کننده
۴۱.....	شکل ۲-۴ شماتی دستگاه سنجشگر مساحت سطح
۴۴.....	شکل ۳-۱ الگوی طرح پرتو ایکس تنگستو فسفریک اسید خالص
۴۵.....	شکل ۳-۲ پرتو ایکس نمونه‌های TiO_2 -TPA حاوی مقادیر متفاوت TPA
۴۶.....	شکل ۳-۳ نمایی از ساختار TiO_2 در فاز آناتاز
۴۶.....	شکل ۳-۴ نمایی از ساختار TiO_2 در فاز روتیل
۴۷.....	شکل ۵-۳ طیف‌های IR در محدوده ۴۰۰ تا ۱۵۰۰، برای TiO_2 خالص، TPA خالص و TPA های داپ شده در TiO_2
۴۸.....	شکل ۶-۳ بررسی DRS نمونه‌های TiO_2 خالص، TPA خالص و TPA داپ شده در TiO_2
۴۹.....	شکل ۷-۳ طرح پرتو ایکس TiO_2 حاوی CoPc
۵۰.....	شکل ۸-۳ طیف‌های بازتابش انتشاری تیغه‌های TiO_2 -CoPc
۵۲.....	شکل ۹-۳ طرح‌های پرتو ایکس از مراحل مختلف تهیه پل خورشیدی از TiO_2 ستزی
۵۳.....	شکل ۱۰-۳ طرح‌های پرتو ایکس از مراحل مختلف تهیه پل خورشیدی از TiO_2 دگوسا
۵۴.....	شکل ۱۱-۳ سورفاکانت تریتون ایکس-۱۰۰
۵۴.....	شکل ۱۲-۳ طیف‌های DR تیغه‌ها پس از برجذب رنگدانه رودامین B بر سطح نمونه‌های TiO_2 -TPA. طیف رودامین B محلول در اتانول نیز نشان داده شده است.

شکل ۱۳-۳ نمودار دانسیته جریان(J) بر حسب ولتاژ(V) برای پیلهای TiO_2 -TPA لایه نشانی شده با استفاده از سورفکتانت تریتون ایکس-۱۰۰، حساس شده با رنگدانه رودامین B و کاتد گرافیتی.....	۵۵
شکل ۱۴-۳ نمودار توان(P) بر حسب ولتاژ(V) برای پیلهای TiO_2 -TPA لایه نشانی شده با استفاده از سورفکتانت تریتون ایکس-۱۰۰، حساس شده با رنگدانه رودامین B و کاتد گرافیتی.....	۵۵
شکل ۱۵-۳ طیف‌های بازتابش انتشاری تیغه‌های TiO_2 -TPA که با استفاده از اتیلن گلیکول تهیه و حساس شده با رنگدانه رودامین B.....	۵۷
شکل ۱۶-۳ نمودار دانسیته جریان(J) بر حسب ولتاژ(V) برای پیلهای TiO_2 -TPA لایه نشانی شده با استفاده از اتیلن گلیکول، حساس شده با رنگدانه رودامین B و کاتد گرافیتی.....	۵۷
شکل ۱۷-۳ نمودار توان(P) بر حسب ولتاژ(V) برای پیلهای TiO_2 -TPA لایه نشانی شده با استفاده از اتیلن گلیکول، حساس شده با رنگدانه رودامین B و کاتد گرافیتی.....	۵۸
شکل ۱۸-۳ نمودار دانسیته جریان(J) بر حسب ولتاژ(V) برای پیلهای TiO_2 -TPA لایه نشانی شده با استفاده از اتیلن گلیکول، حساس شده با رنگدانه رودامین B و اصلاح شده با کاتد آلومینیومی.....	۵۹
شکل ۱۹-۳ نمودار توان(P) بر حسب ولتاژ(V) برای پیلهای TiO_2 -TPA لایه نشانی شده با استفاده از اتیلن گلیکول، حساس شده با رنگدانه رودامین B و اصلاح شده با کاتد آلومینیومی.....	۶۰
شکل ۲۰-۳ مکانیزم پل خورشیدی TiO_2 -TPA حساس شده با رنگدانه.....	۶۲
شکل ۲۱-۳ طیف‌های بازتابش انتشاری تیغه‌های TiO_2 -TPA لایه نشانی شده با استفاده از اتیلن گلیکول، حساس شده با رنگدانه رودامین G. طیف رودامین 6G محلول در اتانول نیز نشان داده شده است.....	۶۳
شکل ۲۲-۳ نمودار J-V پیلهای TiO_2 -TPA لایه نشانی شده با استفاده از اتیلن گلیکول، حساس شده با رنگدانه رودامین G و کاتد گرافیتی.....	۶۴
شکل ۲۳-۳ نمودار P-V پیلهای TiO_2 -TPA لایه نشانی شده با استفاده از اتیلن گلیکول، حساس شده با رنگدانه رودامین G و کاتد گرافیتی.....	۶۴
شکل ۲۴-۳ طیف‌های بازتابش انتشاری تیغه‌های TiO_2 -TPA لایه نشانی شده با استفاده از اتیلن گلیکول، حساس	

- شده با رنگدانه ایوزین Y. طیف ایوزین Y محلول در اتانول نیز نشان داده شده است..... ۶۵
- شکل ۲۵-۳ نمودار J-V پیل‌های $\text{TiO}_2\text{-TPA}$ لایه نشانی شده با استفاده از اتیلن گلیکول، حساس شده با رنگدانه ایوزین Y و کاتد گرافیتی..... ۶۶
- شکل ۲۶-۳ نمودار P-V پیل‌های $\text{TiO}_2\text{-TPA}$ لایه نشانی شده با استفاده از اتیلن گلیکول، حساس شده با رنگدانه ایوزین Y و کاتد گرافیتی..... ۶۷
- شکل ۲۷-۳ ساختار ۳ رنگدانه رودامین B (الف)، رودامین 6G (ب) و رنگدانه ایوزین Y (ج)..... ۶۸
- شکل ۲۸-۳ نمودار J-V پیل‌های $\text{TiO}_2\text{-CoPc}$ تکمیل شده با الکتروولیت یدید/تری یدید و کاتد گرافیتی..... ۶۹
- شکل ۲۹-۳ نمودار J-V پیل‌های $\text{TiO}_2\text{-CoPc}$ تکمیل شده با الکتروولیت یدید/تری یدید و کاتد گرافیتی..... ۷۰
- شکل ۳۰-۳ عملکرد فتوولتایی سه پیل خورشیدی براساس $\text{TiO}_2\text{-CoPc}$ تکمیل شده با الکتروولیت یدید/تری یدید و کاتد گرافیتی..... ۷۲

جدول ۱-۱ رنگدانه های طبیعی بکار برده شده در DSSC ها	۲۰
جدول ۳-۱ تغییرات ساختار تنگستوفسفریک اسید با تغییر pH	۴۳
جدول ۳-۲ مساحت سطح ویژه و حجم حفره TiO_2 -TPA ها و TiO_2 های سنتز شده	۴۶
جدول ۳-۳ مساحت سطح ویژه و حجم حفره نمونه های TiO_2 -CoPc	۵۱
جدول ۳-۴ عملکرد فتوولتایی پیل های TiO_2 -TPA و TiO_2 (degusa) لایه نشانی شده با استفاده از سورفکتانت تریتون ایکس-۱۰۰، حساس شده با رنگدانه رودامین B و کاتد گرافیتی	۵۶
جدول ۳-۵ عملکرد فتوولتایی پیل های TiO_2 و TiO_2 -TPA لایه نشانی شده با استفاده از اتیلن گلیکول، حساس شده با رنگدانه رودامین B و کاتد گرافیتی	۵۸
جدول ۳-۶ عملکرد فتوولتایی پیل های TiO_2 -TPA لایه نشانی شده با استفاده از اتیلن گلیکول، حساس شده با رنگدانه رودامین B و اصلاح شده با کاتد آلومینیومی	۶۰
جدول ۳-۷ عملکرد فتوولتایی پیل های TiO_2 و TiO_2 -TPA لایه نشانی شده با استفاده از اتیلن گلیکول، حساس شده با رنگدانه رودامین 6G و کاتد گرافیتی	۶۵
جدول ۳-۸ عملکرد فتوولتایی پیل های TiO_2 -TPA و TiO_2 لایه نشانی شده با استفاده از اتیلن گلیکول، حساس شده با رنگدانه ایوزین Z و کاتد گرافیتی	۶۷
جدول ۳-۹ مقایسه داده های فتوولتایی پیل های ساخته شده از TiO_2 -TPA(26.7%) با رنگدانه های متفاوت	۶۸
جدول ۳-۱۰ مقایسه شاخص های عملکرد پیل های TiO_2 -CoPc تکمیل شده با الکترولیت یدید/تری یدید و کاتد گرافیتی	۷۰
جدول ۳-۱۱ مقایسه شاخص های عملکرد فتوولتایی پیل های خورشیدی براساس TiO_2 -CoPc	۷۲

چکیده

اصلاحات شیمیایی در دستورالعملهای تهیه سل خورشیدی حساس شده با رنگدانه (DSSC).

حامد فرزین خضریگی

مشکل انرژی را بیچ در جهان ناکافی بودن میزان انرژی‌های فسیلی و نشر گازهای گلخانه‌ای در نتیجه افزایش مصرف سوخت‌های فسیلی است. تأمین انرژی نیز یکی از مشکلات مهم پیش روی بشریت است. امروزه جهان نیاز به محیط پاک وابسته به استفاده از انرژی‌های سبز دارد. شیمیدانهای تجزیه در سال‌های آینده نقش مهمی را در رابطه با انرژی به عهده خواهند داشت. ساخت پل‌های خورشیدی اصلاح شده برای بهره‌دهی بیشتر از جمله اهداف آینده است. پل خورشیدی حساس شده با رنگدانه (DSSC) می‌تواند انرژی خورشیدی را به جریان الکتریکی با هزینه کمتر و کارائی بالاتر تبدیل کند. در این پایان‌نامه کیالت فتالوسیانین (CoPc) و تنگستوفسفریک اسید (TPA) در TiO_2 به روش هیدرولترمال داپ شده‌اند. این ترکیبات به عنوان یکی از اجزای DSSC‌ها بکار برده شده‌اند. ساختار نانو کامپوزیت‌های سنتزی بوسیله XRD، DRS، BET و IR بررسی شد. محصولات سنتز شده با تکنیک دکتر بلید بر سطح شیشه‌ی رسانا اکسید قلع فلورور داده شده، لایه نشانی شد. تیغه‌های آماده شده از TiO_2 -TPA در محلول رنگدانه قرار می‌گیرند. زوج ردوکس یدید/تری یدید به عنوان الکتروولیت پل خورشیدی بر سطح تیغه‌های TiO_2 -CoPc و TiO_2 -TPA اضافه شد. سرانجام با استفاده از کاتد آلومینیومی و یا گرافیت پل‌ها تکمیل شدند. عملکرد فوتولتایی پل‌های آماده شده تحت تابش مرئی اندازه‌گیری شد. بهترین پل‌های تهیه شده، TiO_2 -CoPc(1.2%) و TiO_2 -TPA(26.7%) بود که به ترتیب دارای شاخص‌های شایستگی ($V_{oc}=414$ mV و $P_{max}=21.07$ μW) و ($V_{oc}=551$ mV و $P_{max}=26.78$ μW) می‌باشد.

کلید واژه: پل خورشیدی، TiO_2 ، DSSC، کیالت فتالوسیانین، تنگستوفسفریک اسید.

Abstract

Chemical modifications in the preparation methods of dye-sensitized solar cells

Hamed Farzin Khazarbagi

The current global energy problem can be attributed to insufficient fossil fuel supplies and excessive greenhouse gas emissions resulting from increasing of fossil fuel consumption. Energy supply has arguably become one of the most important problems facing humanity. Nowadays world requires the clean environment that depend on green energy. Analytical chemists will have important roles in the coming years for energy. Construction of improved solar cells with higher efficiency is one of the future aims. The dye sensitized solar cell (DSSC) sun energy could convert to electric current with lower cost and more efficiency. In this dissertation cobalt phthalocyanine (CoPc) and tungstophosphoric acid (TPA) were doped in TiO₂ by hydrothermal method. These compounds were used as one of the components in construction of a DSSC. Nano composites were characterized by means of XRD, DRS, BET and IR methods. Nanostructured products were deposited on fluorinated tin oxide conducting glass by doctor blade technique. Prepared layers of TiO₂-TPA were placed in solution of dye. The I/I₃⁻ redox pairs solar cell electrolyte were added on the surface of TiO₂-TPA and TiO₂-CoPc blades. Finally the cell was complete with Al or graphite as cathode. The performances of the photovoltaic cells were measured under radiation of a day light source. Our best prepared dye sensitized solar cells TiO₂-CoPc(1.2%) and TiO₂-TPA(26.7%) that including merits indexes ($P_{max} = 21.07 \mu\text{W}$ and $V_{oc} = 414 \text{ mV}$) and ($P_{max} = 26.78 \mu\text{W}$ and $V_{oc} = 551 \text{ mV}$) respectively.

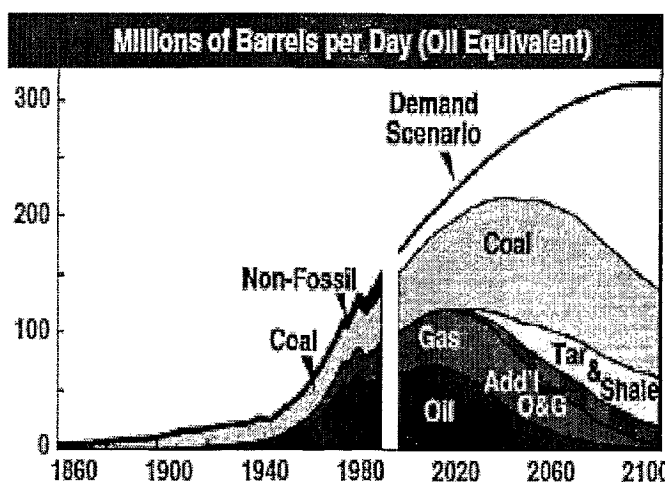
Keywords: Solar cell; DSSC; TiO₂; Cobalt phthalocyanine; Tungstophosphoric acid.

فصل ۱

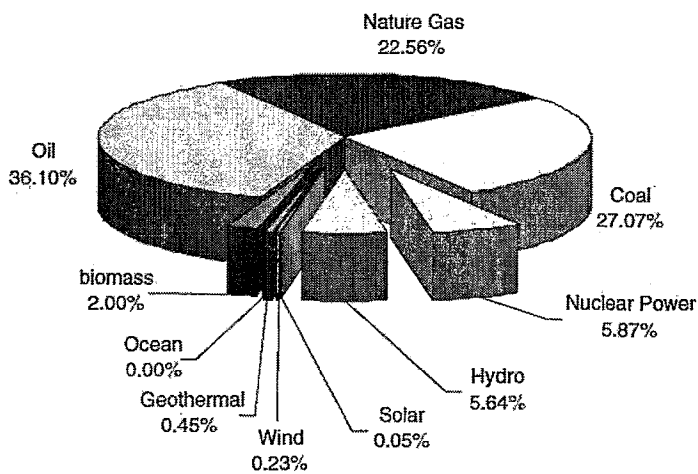
مقدمه و تئوري

۱-۱- توسعه پایدار با منابع انرژی نو

طبق آمارهای به ثبت رسیده طی ۳۰ سال گذشته احتیاجات انرژی جهان به مقدار قابل ملاحظه‌ای افزایش یافته است. در سال ۱۹۷۰ مصرف انرژی جهان معادل ۳۸۳ Gtoe^۱ بوده است. در سال ۱۹۹۰ این رقم به ۸/۸ Gtoe بالغ گردید، که دارای رشد متوسط سالانه ۳/۳ درصد می‌باشد و در مجموع ۱۶۶ درصد افزایش نشان می‌دهد. در حال حاضر مصرف انرژی جهان در سال است و پیش‌بینی می‌شود این رقم در سالهای ۲۰۱۰ و ۲۰۲۰ به ۱۲ و ۱۴ Gtoe در سال افزایش یابد [۱]. شکل ۱-۱ میزان مصرف انرژی و نوع آن در سالهای گذشته، حال و آینده را نشان می‌دهد [۲]. اکنون تنها ۰/۰۵٪ از کل انرژی مصرفی جهان از خورشید تأمین می‌شود و قسمت اعظم آن از سوخت‌های فسیلی مانند نفت، گاز و زغال سنگ تهیه می‌شود (شکل ۱-۲). این ارقام نشان می‌دهند که میزان مصرف انرژی جهان در قرن آینده بالا خواهد بود و بالطبع این سؤال مهم مطرح می‌باشد که آیا منابع انرژی‌های فسیلی در قرن‌های آینده، جوابگوی نیاز انرژی جهان برای بقاء، تکامل و توسعه خواهند بود یا خیر؟



شکل ۱-۱ میزان مصرف انرژی در گذشته، حال و آینده در جهان [۲]



شکل ۲-۱ نوع و میزان مصرف هر یک از منابع تأمین انرژی در جهان [۲].

حداقل به دو دلیل عمدۀ پاسخ این سؤال منفی است و باید منابع جدید انرژی را جایگزین این منابع نمود. این دلایل عبارتند از: نخست محدودیت و در عین حال مرغوبیت انرژی‌های فسیلی است چون که این سوخت‌ها از نوع انرژی شیمیایی متمرکز بوده و مسلماً کاربردهای بهتر از احتراق دارند و دوم مسائل و مشکلات زیست محیطی بطوری که امروزه حفظ سلامت اتمسفر از مهم‌ترین پیش شرط‌های توسعه اقتصادی پایدار جهانی به شمار می‌آید [۲]. بنابراین استفاده از منابع جدید انرژی به جای منابع فسیلی امری الزامی است. سیستم‌های جدید انرژی در آینده باید متکی به تغییرات ساختاری و بنیادی باشد که در آن منابع انرژی بدون کربن نظیر انرژی خورشیدی و بادی و زمین گرمایی^۱ مورد استفاده قرار می‌گیرند [۳].

بدون تردید انرژی‌های تجدیدپذیر با توجه به سادگی فن آوریان در مقابل فن آوری انرژی هسته‌ای از یک طرف و نیز بدليل عدم ایجاد مشکلاتی نظیر زباله‌های اتمی از طرف دیگر نقش مهمی در سیستم‌های جدید انرژی در جهان ایفا می‌کنند. در هر حال باید اذعان داشت که در عمل عوامل متعددی بویژه هزینه اولیه و قیمت تمام شده بالا، عدم سرمایه گذاری کافی برای بومی نمودن و بهبود کارایی تکنولوژی‌های مربوطه، به حساب نیامدن هزینه‌های خارجی در معادلات اقتصادی، نبود سیاست‌های حمایتی در سطح جهانی، منطقه‌ای و محلی، تفویض و توسعه انرژی‌های نو را بسیار کند و محدود ساخته است. ولی پژوهشگران و صنعتگران همواره تلاش خود را جهت رفع این مشکلات مبذول می‌دارند [۴].

۱-۲- خورشید منبع انرژی بدون آلودگی محیط زیست

انرژی خورشیدی وسیع‌ترین منبع انرژی در جهان است. انرژی نوری که از جانب خورشید در هر ساعت به زمین می‌تابد، بیش از کل انرژی است که ساکنان زمین در طول یک سال مصرف می‌کنند [۵]. با وجود گستردگی بودن این انرژی، چگالی آن بسیار پایین است. برای بهره‌گیری از این منبع باید راهی جست تا انرژی پراکنده آن با راندمان بالا و هزینه کم به انرژی قابل مصرف تبدیل شود.

سیستم‌های خورشیدی، سیستم‌هایی هستند که با استفاده از آنها تمام و یا قسمتی از انرژی لازم جهت تأمین احتیاجات جوامع بشری از انرژی خورشید تأمین می‌شود و اهم آنها عبارتند از [۶] :

۱-۲-۱- سیستم‌های فتو بیولوژی

عملکرد فوتوستتر در گیاهان، قدیمی‌ترین و گستردگی‌ترین روش استفاده از انرژی خورشید است. گیاهان تشعشع خورشید را جذب کرده و با کمک آن گاز کربنیک و آب را به مواد قندی تبدیل می‌کنند.

۱-۲-۲- سیستم‌های شیمیایی

سیستم‌های شیمی خورشیدی به دو دسته کلی تقسیم می‌شوند:

- ۱- سیستم‌های فتوشیمیایی که در آن‌ها از تشعشع خورشید در عملیات شیمیایی استفاده می‌شود.
- ۲- سیستم‌های هلیوترمیک^۱ که در آن‌ها از حرارت خورشید بعنوان یک منبع حرارتی بهره‌گیری شده و عملیات شیمیایی انجام می‌گیرد.

۱- سیستم‌های هلیوترمیک یا حرارت خورشید که در آن، بازتابندهای نور خورشید را بر روی یک قسمت متمرکز و آن قسمت گرم می‌شود و این گرما را به آب متقل و سپس آب گرم می‌شود و بخار می‌کند. بخارات حاصل توربین را می‌چرخاند و تولید برق می‌کند، برق حاصل در واکنش‌های الکترولیز مصرف می‌شود [۶].

۱-۲-۳- سیستم‌های حرارتی و بروزتی

روش‌های گرما خورشیدی، با استفاده از انواع جمع کننده‌ها و روش‌های غیر فعال، جهت جذب و جمع آوری انرژی حرارتی خورشیدی، طراحی شده‌اند و برای مقاصدی از قبیل گرم کردن آب، هوا، تولید بخار و سرد کردن و ... بکار برده شده‌اند. سیستم‌های گرما خورشیدی را می‌توان بترتیب زیر طبقه بنده کرد.

سیستم‌های آبگرم خورشیدی

سیستم‌های گرمایش و سرمایش ساختمان‌ها

سیستم‌های تهیه آب شیرین و آب مقطرگیری

سیستم‌های انتقال و پمپاز

سیستم‌های تولید فضای سیز (گلخانه)

سیستم‌های خشک کن و خوراک پز خورشیدی

سیستم‌های سرد کننده خورشیدی

۱-۴- سیستم‌های فتوولتائیک

با استفاده از تکنولوژی‌های خاص، انرژی حاصل از نور خورشید را به انرژی الکتریکی تبدیل می‌کنند. این تکنولوژی‌ها

را به دو دسته می‌توان تقسیم کرد :

۱- سیستم فتوولتائیک (PV): که عموماً تجهیزاتی جامد و ثابت شده هستند (جز در مورد انواع مجهر به سیستم ردیابی خورشید).

۲- سیستم‌های گرمایی خورشیدی: که از نور متتمرکز شده خورشید برای گرم کردن مایعی که بخار آن یک توربین را به حرکت در می‌آورد، استفاده می‌کند.

در این میان استفاده از سیستم‌های فتوولتائیک برای استفاده از نور خورشید به عنوان منبع انرژی بسیار رایج‌تر است.

استفاده از پنل‌های فتوولتائیک در کشورهای پیشرفته به سرعت رو به گسترش است. استفاده از انرژی خورشیدی که یکی از اشکال انرژی موسوم به "سیز" است از سوی طرفداران محیط زیست پشتیبانی می‌شود. علت این استقبال را باید در ویژگی‌های انرژی خورشیدی جست.

۱-۳- شیمی تجزیه و انرژی

سردیبر نشریه Analytical chemistry وابسته به انجمن شیمی آمریکا در شماره ۷ سال ۲۰۰۹، مقاله‌ای با عنوان شیمی تجزیه و علوم انرژی را منتشر کرد [۷]. براساس نظر Murray سردیبر نشریه فوق، شیمیدانان تجزیه نقش مهمی را در سال‌های آینده در رابطه با انرژی و مسائل آن بر عهده خواهند داشت. هم اکنون کارهایی از قبیل تبدیل انرژی و ذخیره سازی، توسط شیمیدانان تجزیه سازمان انرژی ایالات متحده^۱ DOE که اکثراً مرتبط با الکتروشیمی است صورت می‌پذیرد. در این میان تأمین انرژی با استفاده از شکافتن آب به روش الکتروکاتالیزوری و استفاده از سیستم‌های فتوشیمی، فتوالکتروشیمی و سیستم‌های الکتروولیتی موضوع روز است. ابداع پیلهای سوختی با کارایی مناسب با استفاده از سیستم‌های الکتروکاتالیستی نیز دنبال می‌شود. استفاده مؤثر از ذخیره سازی انرژی شیمیایی در باتری و افزایش ظرفیت آنها بسته به بهبود مواد الکتروشیمیایی و سیستم‌های الکتروولیت آنها دارد. Murray در پایان مقاله خود اشاره می‌کند که شیمیدانان تجزیه کارهای خود را در کنار پیشنهادهای دیگر کارشناسان شیمی و نظام مهندسی انجام می‌دهند اما استفاده از متخصصان شیمی تجزیه امری فراتر است. با اختصاص بودجه به موقع در این زمینه می‌توان آینده بهتری را پیش‌بینی کرد و در غیر این صورت باید شرایط سختی را متحمل شویم.

۱-۴- تاریخچه‌ی ساخت پیلهای خورشیدی

در مقاله‌اش [۸] ذکر می‌کند که در سال ۱۸۳۹ دانشمند فرانسوی Becquerel جریانی را هنگامی که دو الکترود فلزی در محلول الکتروولیت در حضور نور خورشید قرار داشتند مشاهده کرد و برای اولین بار اثر فتوولتایک توسط Williams و Rideal کشف شد.

پیلهای خورشیدی یا سلول‌های فتوولتایی ابزارهایی الکترونیکی هستند که با استفاده از پدیده فتوولتایک، نور یا فوتون را مستقیماً به جریان و ولتاژ الکتریکی تبدیل می‌کنند. نشریه^۲ APS نوشت که دانشمندان اولین باتری خورشیدی را در سال ۱۹۵۴، با استفاده از ماده نیمه رسانای سیلیسیوم، در آزمایشگاه‌های بل^۳ ساختند [۹]. دانشمندان و مهندسان خیلی زود به ارزش باتری‌های خورشیدی برای تأمین انرژی ماهواره‌ها پی‌بردند، زیرا این باتری‌ها جرم کمی دارند و هیچ بخش متحرک مکانیکی ندارند. نخستین ماهواره آمریکایی در فضا به باتری‌های خورشیدی از جنس

1- U.S. Department Of Energy

2- American Physical Society

3- Bell Laboratories